

(10) 張糸式流速計に関する構造力学的・流体力学的考察

中川武夫*

1. はじめに

一つの流速計を他の流速計と区別するものは、速度検出の際に用いる物理原理であると考えてよいだろう。ところで、本論文で取り扱う張糸式流速計とは「流れの中に張り合わせた3本の糸が流下方向への流速に応じて大きさの抵抗力を変える。」という簡単な物理原理に基づいて設計された流速計の総称である。すなはち、この糸に働く抵抗力を速度に較正すれば、糸が張り合わせた位置での流速が求められることとなる。

張糸式流速計は既に、一樣流(Sharp 1964)、振動境界層流(Sleath 1969)、規則波の水粒子速度(中川 1980)、碎波の水粒子速度(中川 1981)等の測定に適用されている。その結果、張糸式流速計は比較的構造が簡単で安価であるばかりではなく、既存の流速計では測定が不可能と考えられていた複雑な流れを設計上の工夫により精度良く測定できることが明らかになった。しかし、二つとも張糸式流速計の実際的成果に毫もかからず、この流速計の速度検出機構に関する理論的考察はこれまでなおざりにされてきた。そこで、本研究では張糸式流速計の速度検出機構をより詳細に把握し将来的張糸式流速計に対してより良い設計指針をうるために、糸に抵抗力が働くことの速度検出部の構造解析と糸の周辺の流れに関するいくつかの考察を行なった。

2. 張糸式流速計

(1) 構造

ここでは、碎波の水粒子速度の測定用に新たに設計した張糸式流速計(中川 1981)を例にとって、張糸式流速計の基本構造を紹介することにする。Fig.1 にその張糸式流速計の全容を示した。この流速計の速度検出部は本体底部に張り合わせた3本の綿糸 1,2 及び 3 である。各綿糸の一端は剛性支持され、他端は Fig.2 に示したような片持き板、厚さ 0.5 mm の先端に弾性支持されている。片持き板の上面には各 1 枚づつの半導体ひずみゲージ、120 Ω が張り付いている。また、片持き板の材料として CFRP(Carbon Fiber Reinforced Plastic、比重 1.7、引張弹性率 20,000 kg/mm²) を用いたこと及び片持き板の平面形状を台形とした理由は板の自重による影響を極限するためである。各綿糸の長さ、太さはそれぞれ 55 mm, 0.1 mm であり、綿糸 1,2,3 は互いに直交する x,y,z 方向の速度成分を独立に検出する。綿糸 1 及び 3 は同一水平面内に平行間隔 20 mm で張り合わせており、綿糸 2 は綿糸 1 及び 3 を含む平面の下 15 mm

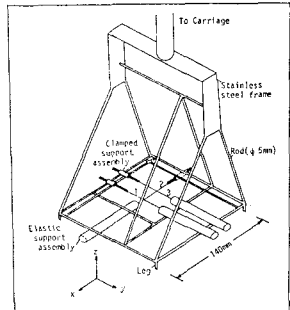


Fig.1 Tension-thread flow meter for measurement of water particle velocity of breaking-wave.

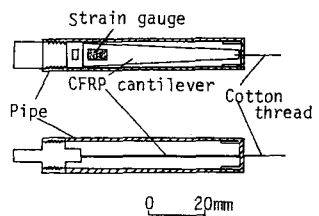


Fig.2 Elastic support assembly of a tension-thread flow meter.

* Ph.D 金沢工業大学助教授 工学部・土木工学科

の水平面内に綿糸 1,3 とは直交する方向に張り合わせてある。

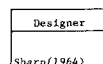
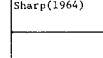
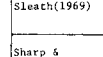
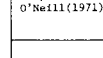
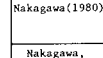
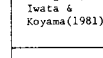
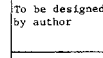
張糸式流速計の速度検出過程は流れから綿糸が受けた片持ち板の面上に垂直方向の抗力をまず片持ち板自体にかずみに変換し、このひずみを半導体ひずみゲージ用の電圧信号に変え、動ひずみ測定器で增幅したり、データ・レコーダに記録するというものである。なお、各綿糸が片持ち板の面上に垂直方向の速度成分を選択的に検出できるのは片持ち板の厚みに対する幅の比が十分大きくなるよう設計されていこうとしている。

以上の説明から明らかなように、張糸式流速計は測定または流速は綿糸を張った小形端における平均的な流速といふことになる。

(2) 応用例

Table 1 に主な張糸式流速計の設計者、原理図及び測定の対象とした流れを要約した。この表から、80 年代以前に設計された張糸式流速計は速度の一方向成分を測定することができるものが多かった。ところが、80 年代に入ると張糸式流速計が規則波の水粒子速度のような二次元振動流や、碎波の水粒子速度のように三次元振動性乱流の測定にも適用されようになつた。さらには、在来の流速計ではその測定が困難と考えられていた乱流境界層流あるいは振動境界層流のような複雑な流れの測定に張糸式流速計がよく有用であることが明らかになっていこう。

Table 1 Models and Applications of Tension-thread Flow Meter.

Designer	Model	Application
Sharp(1964)		Velocity measurement in conduit.
Sharp(1964)	Cantilever Flow → 	Velocity measurement in open channel.
	Thread	Velocity measurement in oscillatory boundary layer.
Sleath(1969)		Distribution of suspended particles in conduit.
Sharp & O'Neill(1971)		Water particle velocity measurement of regular wave.
Nakagawa(1980)		Water particle velocity measurement of breaking wave.
Nakagawa, Iwata & Koyama(1981)		Velocity measurement in turbulent and oscillatory boundary layer.
To be designed by author		Velocity measurement in turbulent and oscillatory boundary layer.
To be designed by autor.		Velocity measurement in turbulent and oscillatory boundary layer.

3. 理論解析

(1) 糸及び片持ち板のたわみ

解析の詳細は付録に示すこととし、ここでは解析の方針、仮定、境界条件及び結果のみを示すことにする。

Fig.3(a)は、ここで解析の対象である張糸式流速計の構造部を示した図である。片持ち板の左端は固定支点であり、一方、糸の右端はこの固定支点と同一の高さにあるヒンジ支点である。また、片持ち板の右端と糸の左端は B 点において結合させられている。Fig.1 及び Fig.2 に示したように張糸式流速計の片持ち板の部分は円管の中に入込まれていてために、この部分には抗力は働かない。糸及び片持ち板のたわみは糸の部分に働く抗力によつての引張りが発生すると考えられる。そこで、本解析においてはこの糸に働く下方向への抗力を Fig.3(a) のように糸の水平長 L にわたって単位長さ当たり w の等分布荷重と見定す。

このような等分布荷重が糸に加わった結果として Fig.3(a) に示したように糸及び片持ち板がたわんで釣合ったとして解析をする。

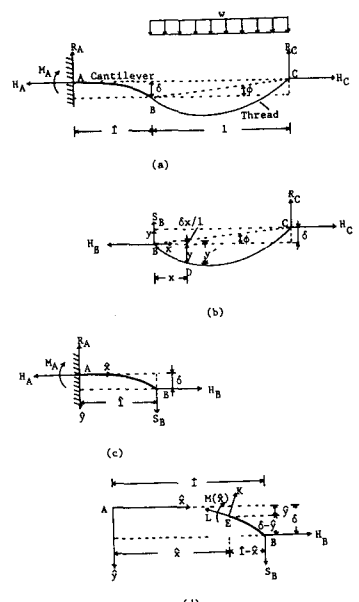


Fig.3 Definition sketch for structural analyses of tension-thread flow meter.

なお、系及び片持ち板の自重はこれらの場合が抗力に比べて小さいとして無視した。

実際の解析に際しては、Fig.3(a)のような静的に釣合っている力算系をこれを等価なFig.3(b)と(c)のような二つの力算系に分けて取り扱った。なお、Fig.3(b)と(c)はそれぞれ系と片持ち板の切断部を示し、解析の際に用いた記号はFig.3に示したように定義する。

まず、系のたわみ曲線はFig.3(b)のような力算系の釣合から次のようになる求められた。

$$y = x \left(\frac{w}{2H} x + \frac{\delta}{\ell} - \frac{w\ell}{2H} \right). \quad \dots (1)$$

一方、片持ちばかりのたわみ曲線は、Fig.3(c)及び(d)を参照して、ばかりの微分方程式ばかりの左端における固定支点、Aの境界条件から次のようになる求められた。

$$\begin{aligned} \hat{y} &= \left[\frac{1}{2H} \sqrt{\frac{EI}{H}} \left(\frac{w\ell}{2} - \frac{H\cdot\delta}{\ell} \right) + \frac{1}{2H} \left(\frac{w\ell\hat{\ell}}{2} - \frac{H\cdot\delta\cdot\hat{\ell}}{\ell} - H\cdot\delta \right) \right] \exp\left(-\sqrt{\frac{H}{EI}} \cdot \hat{x}\right) + \\ &+ \left[\frac{1}{2H} \left(\frac{w\ell\hat{\ell}}{2} - \frac{H\cdot\delta\cdot\hat{\ell}}{\ell} - H\cdot\delta \right) - \frac{1}{2H} \sqrt{\frac{EI}{H}} \left(\frac{w\ell}{2} - \frac{H\cdot\delta}{\ell} \right) \right] \exp\left(\sqrt{\frac{H}{EI}} \cdot \hat{x}\right) + \frac{1}{H} \left(\frac{w\ell}{2} - \frac{H\cdot\delta}{\ell} \right) \hat{x} - \frac{1}{H} \left(\frac{w\ell\hat{\ell}}{2} - \frac{H\cdot\delta\cdot\hat{\ell}}{\ell} - H\cdot\delta \right). \end{aligned} \quad (2)$$

以上のようだ、系及び片持ちばかりのたわみ曲線が形成的には求まつたがゆえであるが、それがこれらの式中のたわみは未知量である。そこで、Fig.3(c)を参照して片持ちばかりの右端、Bにおけるたわみがδに等しいという条件を上式に適用するこより、求めたたわみが次のようになる求められた。

$$\delta = \frac{w\ell}{2H} \frac{\left[(\hat{\ell} + \sqrt{\frac{EI}{H}}) \exp\left(-\sqrt{\frac{H}{EI}} \cdot \hat{\ell}\right) + (\hat{\ell} - \sqrt{\frac{EI}{H}}) \exp\left(\sqrt{\frac{H}{EI}} \cdot \hat{\ell}\right) \right]}{\left[\left(\frac{1}{\ell} \sqrt{\frac{EI}{H}} + \frac{\hat{\ell}}{\ell} + 1 \right) \exp\left(-\sqrt{\frac{H}{EI}} \cdot \hat{\ell}\right) - \left(\frac{1}{\ell} \sqrt{\frac{EI}{H}} - \frac{\hat{\ell}}{\ell} - 1 \right) \exp\left(\sqrt{\frac{H}{EI}} \cdot \hat{\ell}\right) \right]} \quad (3)$$

(2) 系に働く抗力

本章、第(1)項においては系の単位長さ当たりに働く抗力をwと仮定して張糸式流速計・速度検知部の解析を行なつたが實際に系及び片持ち板のたわみ曲線を計算するためにはこの抗力の大きさを評価するこが必要となる。

ところで、一般に系の単位長さ当たりに働く抗力は次のように表わすことができる。

$$w = \frac{1}{2} C_D \rho U^2 S,$$

ここで、 C_D は抗力係数、 ρ は流体の密度、 U は流速そして S は系の単位長さ当たりの流れ方向への投影面積である。ところが、抗力係数 C_D はレインルズ数 $R_e = UD/v$ 、ここで D は系の直径そして v は流体の動粘性係数、に依存するので抗力 w を全てのレインルズ数範囲にわたる正確に評価することは現段階では無理である。しかししながら、Lamb(1932 p.616) はレインルズ数が1に比較して十分小さな場合の系の単位長さ当たりに働く抗力を理論的に次のように求めていふ。

$$w = \frac{4\pi M U}{\frac{1}{2} - \gamma - \ln(\pi D/v)} \quad , \quad (4)$$

ここで、 M は流体の粘性係数、 $\gamma = 0.577$ は Euler の定数そして D は系の半径である。

張糸式流速計の速度検知部の系のまわりの流れのレインルズ数のオーダーは、通常工程度になるとよ

うに設計されたので、次章に示す理論計算においては系に働く抗力の評価のために上に示した Lamb の理論値を採用することにする。

4. 計算結果

(1) 系に働く抗力及び片持ち板先端部のたわみ

計算の手順は、まず流速 U 及び Table 2 に示した諸量のうち、 μ , a そして v の値を Lamb の理論結果である(4)式に代入して系の単位長さ当たりに働く抗力 w の値を求めた。次に片持ち板先端部のたわみは、この抗力 w 、Table 2 の該当量の値及び水平張力 H の値を(3)式へ代入することにより求めることができた。

Table 3 に、これらの計算結果を示した。この計算結果から、水平張力 H を一定とすれば流速 U が増すにつれて系に働く抗力が増し、片持ち板先端部のたわみ δ が増加することができる。

一方、流速 U を一定に保ち張力 H を増した時には片持ち板先端部のたわみ δ は徐々に減少する。

(2) 系及び片持ち板のたわみ曲線

Fig.4 は Table 3 に示した計算例のうち (g), (h), (i) の 3 例を示す。これに対応する系と片持ち板のたわみ曲線を(1)式と(2)式から計算し、プロットしたものである。Fig.4 から、水平張力 H の増加に伴ない、系のたわみが小さくなることがわかるであろう。なお、この図からは片持ち板のたわみ曲線はたわみが小さなために明らかではないが、計算の結果片持ち板のたわみも系のたわみと同様に水平張力 H の増加に伴ない小さくなることを明らかにしている。

Table 2 Some physical constants.		
Nomenclature	Symbol	
Thread radius	a	$0.05[\text{cm}]$
Young modulus	E	$1.96 \times 10^{12} [\text{dyne/cm}^2]$
Moment of inertia	I	$5.73 \times 10^{-5} [\text{cm}^4]$
Horizontal distance between A and B	f	$5.30[\text{cm}]$
Horizontal distance between B and C	l	$5.50[\text{cm}]$
Dynamic viscosity of water	μ	$1.00 \times 10^{-2} [\text{g/cm.s}]$
Kinematic viscosity of water	v	$1.00 \times 10^{-5} [\text{cm}^2/\text{s}]$

Table 3 Some calculated results

Case	$U[\text{cm/s}]$	$H[\text{dynes}]$	$w[\text{dyne/cm}]$	$\delta[\text{cm}]$
(a)		30		1.56×10^{-4}
(b)	5	50	1.59	1.17×10^{-4}
(c)		100		8.28×10^{-5}
(d)		30		3.45×10^{-4}
(e)	6	50	3.52	2.60×10^{-4}
(f)		100		1.84×10^{-4}
(g)		30		5.97×10^{-4}
(h)	6.5	50	6.08	4.48×10^{-4}
(i)		100		3.17×10^{-4}
(j)		30		1.43×10^{-3}
(k)	7.0	50	14.56	1.07×10^{-3}
(l)		100		7.60×10^{-4}

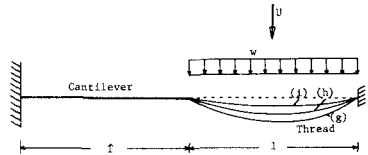


Fig.4 Deflection curves of thread and cantilever.

5. 議論

レイノルズ数 R_e が 60 程度になると流れの中に置かれた円柱の後流中にカルマン渦の放射がはじまることがわかっている (Schlichting 1968)。また、このカルマン渦の放射周波数が $f = SU/D$ 、ここで S はストローハル数、 f を求めることが実験的に証明されている。当然のことながら、張系式流速計の系の後流中にモレイノルズ数が限界値 60 以上では必ずカルマン渦が発生することになるが、もしもカルマン渦が流速計測中に系の後流中に発生すればこの交差的渦が逆に系を強制的に運動させることになるためにはこの流速計の測定精度が著しく劣ると思われる。

過去にも、流速と物体に働く抗力との関係から流れの速度を求めるという試みはいくつかある。たとえば、流れの中に突き出した円柱に働く抗力から流速を測定したものの (Beardsley et al. 1963)、流れの中の内板に働く抗力から流速を測定したものの (Nakagawa & Hinwood 1978)、流れの中の有孔球に働く抗力から流速を測定しようとしたもの (Nakagawa 1978) 等があるが、いずれも流れの中にやう入された円柱、内板、有孔球の後流中ににおけるカルマン渦の発生を抑えることに失敗している。又くに、カルマン渦の放射周波数と流れの中の物体の固有振動数とが一致した時には、この物体は共振現象に

より激しく振動することは良く知られていることである。

以上のことから、流れの中にさし入る下物体に働く抵抗力の大きさから流速を知るという試みの成否が、この物体後流中に発生するであろうカルマン漏をいかに制御するかにかかっていふことを理解することがでしよう。言うまでもなく、この制御対策のうえで最ものものは問題の発生源であるカルマン漏の発生を完全に抑えることである。すなまち、張糸式流速計の設計においてクリティカルな点はその速度検知部である糸の直径の正しい選択を通して、糸の直径 D、測定速度範囲由最大速度 U_{max} 及び流体の動粘性係数 ν で定義したレイノルズ数 $R_e = U_{max} \cdot D / \nu$ の値が常にカルマン漏発生限界值 60 以下にすこことである。

最後に、Fig.1 に示したような構造の張糸式流速計の固有振動数は 100 Hz 程度とかなり高いことも、この流速計の利点であることを付記しておく。

6. 結論

張糸式流速計の速度検知部の構造解析から、この速度検知部の構成要素である糸及び片持支柱のかねは、流速が大きいほど、糸に働く張力が小さくなるほど大きくなることが明了かになつた。

一方、張糸式流速計の速度検知部の糸のまわりの流れに関する考察から、一般に流れの中にさし入る下物体に働く抵抗力の大きさから流速を求める場合には、この物体の後流にカルマン漏が発生しないようにすることが重要であることがわかつた。

7. 参考文献

- 中川武夫、テンション・スレッド流速計を用いた水粒子速度の測定、土木学会第 35 回年次学術講演会講演概要集、第 2 部、79-80(1980).
中川武夫 岩田好一郎、小山裕文、テンション・スレッド流速計による碎波の水粒子速度の計測、第 28 回海岸工学講演会講演論文集、20-23(1981).

- Beardsley, Jr., Knollman, G.C., Hamamoto, A.S. & Eisler, J.D., Device for measuring orbital velocities of particles in an under water wave field. The Review of Scientific Instruments, 34, 516-519(1963).
Schlichting, H., Boundary-layer Theory, McGraw-Hill Book Company, New York, 32(1968).
Sharp, B.B., Flow measurement with a suspension wire. Proc. A.S.C.E., HY2, 90, 37-53(1964).
Sleath, J.F.A., A device for measurement in oscillatory boundary layers in water. J. Sci. Inst.(J. Physics E), Series 2, 2, 446-448(1969).
Nakagawa, T. & Hinwood, J.B., On measurements of turbulence in tidal currents-a review-, MMEL34, Department of Mechanical Engineering, Monash University, Clayton, Victoria 3168(1978).
Nakagawa, T. Unpublished manuscript.(1978).
Lamb, H., Hydrodynamics, Cambridge University Press, Sixth Edition, 616(1932).

8. 付録

ここでは、張糸式流速計の速度換算部の構造解析の詳細を述べるところにする。

まずはじめに、Fig.3(b) を参照して系の部分の解析を行なうことにする。系の部分の全体のつり合ひを考えて、まず水平方向の力の和が零となる条件から次式をうる。

$$\sum H_i = H_c - H_B = 0 .$$

したがって、

$$H_c = H_B = H \quad \dots \quad (A.1)$$

次に、垂直方向の力の和が零となる条件から、

$$\sum T_i - S_B + R_c - w\ell = 0 , \quad (A.2)$$

が、C点まわりのモーメントが零となる条件から、

$$\sum (M_i)_c = H\delta + S_B\ell - \frac{w\ell^2}{2} ,$$

あるいは、

$$S_B = \frac{w\ell}{2} - \frac{H\delta}{\ell} \quad \dots \quad (A.3)$$

(A.2) × (A.3) から

$$R_c = \frac{w\ell}{2} + \frac{H\delta}{\ell} \quad \dots \quad (A.4)$$

また、系の各断面には抵抗モーメントは働くがないうことに注意して、D点から左の系の切削要素に働く外力モーメントが零となる条件から、次式をうる。

$$S_B x - H(y' - \frac{\delta \cdot x}{\ell}) - \frac{w x^2}{2} = 0 \quad (A.5)$$

(A.3) × (A.5) から

$$y' = \frac{wx}{2H}(l - x) . \quad (A.6)$$

ここで、座標の原点をB点に選べば、

$$y = -(y' - \frac{\delta \cdot x}{\ell}) , \quad (A.7)$$

の関係があるので (A.6) × (A.7) へ代入すれば、次式をうる。

$$y = x \left(\frac{w}{2H}x + \frac{\delta}{\ell} - \frac{w\ell}{2H} \right) . \quad (A.8)$$

次に、Fig.3(c) を参照して片持ち板の部分の解析を行なうことにする。片持ち板の部分の全体のつり合ひを考えて、まず水平方向の力の和が零となる条件から次式をうる。

$$\sum H_i = H_B - H_A = 0 .$$

したがって、

$$H_B = H_A = H \quad \dots \quad (A.9)$$

次に、垂直方向の力の和が零となる条件から、

$$\sum T_i = R_A - S_B = 0 ,$$

あるいは、上式と (A.3) を使って次式をうる。

$$R_A = S_B = \frac{w\ell}{2} - \frac{H\delta}{\ell} \quad \dots \quad (A.10)$$

また、A点まわりのモーメントが零となる条件から

$$\sum (M_i)_A = M_A + S_B \ell - H\delta = 0 ,$$

あるいは、上式と (A.3) から次式をうる。

$$M_A = H\delta - \frac{w\ell^2}{2} + \frac{H\delta\ell}{\ell} \quad \dots \quad (A.11)$$

次に、Fig.3(d) のように座標の原点A及び \hat{x} と \hat{y} の正方向を選んだりし、片持ち板部の先端Bを含む切削要素のつり合ひを考えて、

この切削要素の左端、E点まわりのモーメントが零となる条件から、

$$\sum (M_i)_E = M(\hat{x}) + S_B(\hat{\ell} - \hat{x}) - H(\delta - \hat{\delta}) ,$$

あるいは、

$$M(\hat{x}) = -S_B(\hat{\ell} - \hat{x}) + H(\delta - \hat{\delta}) . \quad (A.12)$$

はりの微分方程式は一般に次のようにならねばならない。

$$\frac{d^2\hat{y}}{d\hat{x}^2} = -\frac{M(\hat{x})}{E \cdot I} , \quad (A.13)$$

ここで、Eははりの材料のヤング率でIははりの断面二次モーメントである。

(A.12) × (A.13) へ代入し (A.3) を使って整理すれば、次式をうる。

$$\begin{aligned} \frac{d^2\hat{y}}{d\hat{x}^2} - \frac{H}{E \cdot I} \cdot \hat{y} &= -\frac{1}{E \cdot I} \left(\frac{w\ell}{2} - \frac{H\delta}{\ell} \right) \hat{x} + \\ &+ \frac{1}{EI} \left(\frac{w\ell\hat{\ell}}{2} - \frac{H\delta\hat{\ell}}{\ell} - H\delta \right) \end{aligned} \quad (A.14)$$

(A.14)が片持ち板部の方程式であり、二つめの方程式の補解は (A.14) の右辺を零としてえらぶか微分方程式の解であるが、次のようになる。

次に、

$$\hat{y}_c = C_1 \exp\left(-\sqrt{\frac{H}{EI}} \hat{x}\right) + C_2 \exp\left(\sqrt{\frac{H}{EI}} \hat{x}\right). \quad (\text{A.15})$$

一方、(A.14) の特解解は次のようになります。

$$\hat{y}_p = \frac{1}{H} \left(\frac{w\ell}{2} - \frac{H\delta}{\ell} \right) \hat{x} - \frac{1}{H} \left(\frac{w\ell\ell}{2} - \frac{H\delta\ell}{\ell} - H\delta \right). \quad (\text{A.16})$$

微分方程式の一般解は、補解と特解を加え合せたものであるから、(A.14) の一般解は (A.15) + (A.16) を加え合せることにより次のようになります。

$$\begin{aligned} \hat{y} &= C_1 \exp\left(-\sqrt{\frac{H}{EI}} \hat{x}\right) + C_2 \exp\left(\sqrt{\frac{H}{EI}} \hat{x}\right) + \\ &+ \frac{1}{H} \left(\frac{w\ell}{2} - \frac{H\delta}{\ell} \right) \hat{x} - \frac{1}{H} \left(\frac{w\ell\ell}{2} - \frac{H\delta\ell}{\ell} - H\delta \right). \end{aligned} \quad (\text{A.17})$$

次に、(A.17) の積分定数 C_1 及び C_2 は片持り板左端における固定条件、すなはち $\hat{x} = 0$ において

$$\hat{y} = 0 \quad \text{及び} \quad \frac{d\hat{y}}{d\hat{x}} = 0, \quad (\text{A.18})$$

という条件が満足され、片持り板部の左端条件は最終的に次のようになります。

$$\begin{aligned} \hat{y} &= \left[\frac{1}{2H} \sqrt{\frac{EI}{H}} \left(\frac{w\ell}{2} - \frac{H\delta}{\ell} \right) + \frac{1}{2H} \left(\frac{w\ell\ell}{2} - \frac{H\delta\ell}{\ell} - H\delta \right) \right] \exp\left(\sqrt{\frac{H}{EI}} \hat{x}\right) + \\ &+ \left[\frac{1}{2H} \left(\frac{w\ell\ell}{2} - \frac{H\delta\ell}{\ell} - H\delta \right) - \frac{1}{2H} \sqrt{\frac{EI}{H}} \left(\frac{w\ell}{2} - \frac{H\delta}{\ell} \right) \right] \exp\left(-\sqrt{\frac{H}{EI}} \hat{x}\right) + \\ &+ \frac{1}{H} \left(\frac{w\ell}{2} - \frac{H\delta}{\ell} \right) \hat{x} - \frac{1}{H} \left(\frac{w\ell\ell}{2} - \frac{H\delta\ell}{\ell} - H\delta \right) \end{aligned} \quad (\text{A.19})$$

$x = 3\ell$ 、系と片持り板との接合点 B における左端条件を既知として解析を進めてきたが、実際にはこの左端条件

$$\hat{x} = \ell \quad \text{において}$$

$$\hat{y} = \delta \quad (\text{A.20})$$

という条件を (A.19) に適用し、次のように求められる量である。

$$\delta = \frac{w\ell}{2H} \frac{\left[\left(\hat{x} + \sqrt{\frac{EI}{H}} \right) \exp\left(-\sqrt{\frac{H}{EI}} \cdot \hat{x}\right) + \left(\hat{x} - \sqrt{\frac{EI}{H}} \right) \exp\left(\sqrt{\frac{H}{EI}} \cdot \hat{x}\right) \right]}{\left[\left(\frac{1}{2} \sqrt{\frac{EI}{H}} + \frac{\hat{x}}{\ell} + 1 \right) \exp\left(-\sqrt{\frac{H}{EI}} \cdot \hat{x}\right) - \left(\frac{1}{2} \sqrt{\frac{EI}{H}} - \frac{\hat{x}}{\ell} - 1 \right) \exp\left(\sqrt{\frac{H}{EI}} \cdot \hat{x}\right) \right]} \quad \dots \dots \quad (\text{A.21})$$

最後に、(A.1) 及び (A.9) において点 A, B 及び C における水平張力を H と算出し、二の水平張力は初期張力 H_0 と系に流れによる抗力が働く結果生じた水平張力の増加分 H_1 の和であり、歴程には後者の張力の増加分 H_1 は理論的に求められたべき量である。事実、抗力が系に沿って分布する系及び片持り板の内部におけるひずみエネルギーの増加分と等しいとする条件から、二の水平張力を増加分 H_1 が求まることが理論的に明らかになつていい了が、この解析は本論文の範囲外であるので不再検討する。

STRUCTURAL ANALYSES AND FLUID DYNAMICAL CONSIDERATIONS
ON TENSION-THREAD FLOW METER

Takeo NAKAGAWA*

For measuring the flow velocity, 'tension-thread flow meter' uses a physical principle that the drag force on a thread extended in a flow depends on the flow velocity around it.

It has been recognized that 'tension-thread flow meter' is relatively simple in the structure and is a potential device for measurement of complex flows such as turbulent and oscillatory boundary layer flows. Indeed, the high performance of 'tension-thread flow meter' has been already demonstrated by the measurements of uniform flow(Sharp 1964), oscillatory boundary layer flow(Sleath 1969), water particle velocity of breaking-wave(Nakagawa et al. 1981) and so forth. Whereas, it seems that theoretical understandings for the dynamics of 'tension-thread flow meter' are rather shallow.

For that reason, in the present paper, structural analyses and fluid dynamical considerations on 'tension-thread flow meter' have been done in order to understand how the flow velocity is sensed by the thread and also to provide design criteria for future 'tension-thread flow meter', to be designed.

The present structural analyses show that the deflection of the thread and cantilever in the downstream direction is increased as the flow velocity is increased and/or tension in the thread is decreased, and *vice versa*.

The fluid dynamical considerations on the flow around the thread have suggested that for a successful design of 'tension-thread flow meter', shedding of the Kármán vortices into the wake of thread must be suppressed by a proper choice of the thread diameter.

* Ph.D, Associate professor of Civil Engineering Department,
Kanazawa Institute of Technology.